

Algorytmy macierzowe - Mnożenie macierzy

Jakub Frączek Kacper Garus

30 października 2024

Spis treści

1	Wstęp	2
2	Metoda Binét’a	2
2.1	Opis teoretyczny	2
2.2	Pseudokod	2
2.3	Implementacja	3
3	Metoda Strassena	4
3.1	Opis teoretyczny	4
3.2	Pseudokod	4
3.3	Implementacja	5
4	Metoda AI	6
4.1	Opis teoretyczny	6
4.2	Implementacja	9
5	Test działania algorytmu AI	12
6	Porównanie wydajności algorytmów Binét’a i Strassena	13
6.1	Zliczanie liczby operacji zmiennoprzecinkowych	13
6.2	Porównanie czasów działania	16
7	Oszacowanie złożoności obliczeniowej	17
8	Porównanie wyników z Octave	17
9	Wnioski	18
10	Źródła	18

1 Wstęp

Tematem zadania było wygenerowanie losowych macierzy o wartościach z przedziału otwartego $(0.00000001, 1.0)$, a następnie zaimplementowanie algorytmów:

1. Rekurencyjnego mnożenia macierzy metodą Binét'a
2. Rekurencyjnego mnożenia macierzy metodą Strassena
3. Mnożenia macierzy metodą AI na podstawie artykułu w Nature*

* - <https://deepmind.google/discover/blog/discovering-novel-algorithms-with-alphatensor/#:text=In%20our%20paper,%20published%20today%20in%20Nature,%20we>

Następnie zliczyć liczbę operacji zmienno-przecinkowych dokonaną podczas mnożenia macierzy. Algorytmy miały zostać zaprojektowane tak, aby przyjmować macierze o dowolnych wymiarach.

2 Metoda Binét'a

2.1 Opis teoretyczny

Algorytm Binét'a jest rekurencyjny i można go przedstawić dla przykładowych macierzy A i B w taki sposób:

$$A = \begin{bmatrix} A_{11} & A_{12} \\ A_{21} & A_{22} \end{bmatrix} \quad B = \begin{bmatrix} B_{11} & B_{12} \\ B_{21} & B_{22} \end{bmatrix}$$
$$C = \begin{bmatrix} (A_{11}B_{11} + A_{12}B_{21}) & (A_{11}B_{12} + A_{12}B_{22}) \\ (A_{21}B_{11} + A_{22}B_{21}) & (A_{21}B_{12} + A_{22}B_{22}) \end{bmatrix}$$

Gdzie A_{ij} , B_{ij} dla $i = 1, 2, \dots, n$ i $j = 1, 2, \dots, n$, to macierze

2.2 Pseudokod

```
Funkcja Binet(A, B)
    Jeżeli rozmiar(A) == 1
        Zwróć A * B

    S = kształt macierzy A

    A = macierz A uzupełniona do parzystego kształtu
    B = macierz B uzupełniona do parzystego kształtu

    środek = dzielenie_całkowite(rozmiar(A[0]), 2)
```

```

a11 = Wiersze od 0 do środek, Kolumny od 0 do środek z macierzy A
a12 = Wiersze od 0 do środek, Kolumny od środek do n z macierzy A
a21 = Wiersze od środek do n, Kolumny od 0 do środek z macierzy A
a22 = Wiersze od środek do n, Kolumny od środek do n z macierzy A

b11 = Wiersze od 0 do środek, Kolumny od 0 do środek z macierzy B
b12 = Wiersze od 0 do środek, Kolumny od środek do n z macierzy B
b21 = Wiersze od środek do n, Kolumny od 0 do środek z macierzy B
b22 = Wiersze od środek do n, Kolumny od środek do n z macierzy B

c11 = Binet(a11, b11) + Binet(a12, b21)
c12 = Binet(a11, b12) + Binet(a12, b22)
c21 = Binet(a21, b11) + Binet(a22, b21)
c22 = Binet(a21, b12) + Binet(a22, b22)

C = złoż macierz z c11, c12, c21, c22

C = macierz C przycięta do kształtu S

Zwróć macierz C

```

2.3 Implementacja

Algorytm postanowiliśmy zaimplementować w języku Python:

```

def binet(a,b):
    if np.size(a[0])==1:
        return a*b

    original_shape = a.shape

    a = pad_matrix_even(a)
    b = pad_matrix_even(b)

    n = np.size(a[0])
    mid=n//2

    a11=a[:mid,:mid]
    a12=a[:mid,mid:]
    a21=a[mid,:mid]
    a22=a[mid,mid:]
    b11=b[:mid,:mid]
    b12=b[:mid,mid:]
    b21=b[mid,:mid]
    b22=b[mid,mid:]

```

```

c11=binet(a11, b11)+binet(a12, b21)
c12=binet(a11, b12)+binet(a12, b22)
c21=binet(a21, b11)+binet(a22, b21)
c22=binet(a21, b12)+binet(a22, b22)

return unpad_matrix(np.vstack((np.hstack((c11,c12)),np.hstack((c21,c22)))), original_shape)

```

3 Metoda Strassena

3.1 Opis teoretyczny

Algorytm Strassena jest rekurencyjny i można go przedstawić dla przykładowych macierzy A i B w następujący sposób:

$$A = \begin{bmatrix} A_{11} & A_{12} \\ A_{21} & A_{22} \end{bmatrix} \quad B = \begin{bmatrix} B_{11} & B_{12} \\ B_{21} & B_{22} \end{bmatrix}$$

$$C = \begin{bmatrix} P_1 + P_4 - P_5 + P_7 & P_2 + P_4 \\ P_3 + P_5 & P_1 - P_2 + P_3 + P_6 \end{bmatrix}$$

$$\begin{aligned}
P_1 &= (A_{11} + A_{22})(B_{11} + B_{22}) & P_2 &= (A_{21} + A_{22})B_{11} \\
P_3 &= A_{11}(B_{12} - B_{22}) & P_4 &= A_{22}(B_{21} - B_{11}) \\
P_5 &= (A_{11} + A_{12})B_{22} & P_6 &= (A_{21} - A_{11})(B_{11} + B_{12}) \\
P_7 &= (A_{12} - A_{22})(B_{21} + B_{22})
\end{aligned}$$

Gdzie A_{ij} , B_{ij} dla $i = 1, 2, \dots, n$ i $j = 1, 2, \dots, n$, to macierze

3.2 Pseudokod

```

Funkcja Binet(A, B)
    Jeżeli rozmiar(A) == 1
        Zwróć A * B

    S = kształt macierzy A

    A = macierz A uzupełniona do parzystego kształtu
    B = macierz B uzupełniona do parzystego kształtu

    środek = dzielenie_całkowite(rozmiar(A[0]), 2)

    a11 = Wiersze od 0 do środek, Kolumny od 0 do środek z macierzy A
    a12 = Wiersze od 0 do środek, Kolumny od środek do n z macierzy A
    a21 = Wiersze od środek do n, Kolumny od 0 do środek z macierzy A

```

```

a22 = Wiersze od środek do n, Kolumny od środek do n z macierzy A

b11 = Wiersze od 0 do środek, Kolumny od 0 do środek z macierzy B
b12 = Wiersze od 0 do środek, Kolumny od środek do n z macierzy B
b21 = Wiersze od środek do n, Kolumny od 0 do środek z macierzy B
b22 = Wiersze od środek do n, Kolumny od środek do n z macierzy B

p1 = strassen(a11+a22, b11+b22)
p2 = strassen(a21+a22, b11)
p3 = strassen(a11, b12-b22)
p4 = strassen(a22, b21-b11)
p5 = strassen(a11+a12, b22)
p6 = strassen(a21-a11, b11+b12)
p7 = strassen(a12-a22, b21+b22)

c11=p1+p4-p5+p7
c12=p3+p5
c21=p2+p4
c22=p1-p2+p3+p6

C = złącz macierz z c11, c12, c21, c22

C = macierz C przycięta do kształtu S

Zwróć macierz C2

```

3.3 Implementacja

Algorytm Strassena również został zaimplementowany w języku Python:

```

def strassen(a,b):

    if np.size(a[0])==1:
        return a*b

    original_shape = a.shape

    a = pad_matrix_even(a)
    b = pad_matrix_even(b)

    n = np.size(a[0])

    mid=n//2

    a11=a[:mid,:mid]

```

```

a12=a[:mid,mid:]
a21=a[mid:,:mid]
a22=a[mid:,mid:]
b11=b[:mid,:mid]
b12=b[:mid,mid:]
b21=b[mid:,:mid]
b22=b[mid:,mid:]

p1 = strassen(a11+a22, b11+b22)
p2 = strassen(a21+a22, b11)
p3 = strassen(a11, b12-b22)
p4 = strassen(a22, b21-b11)
p5 = strassen(a11+a12, b22)
p6 = strassen(a21-a11, b11+b12)
p7 = strassen(a12-a22, b21+b22)

c11=p1+p4-p5+p7
c12=p3+p5
c21=p2+p4
c22=p1-p2+p3+p6

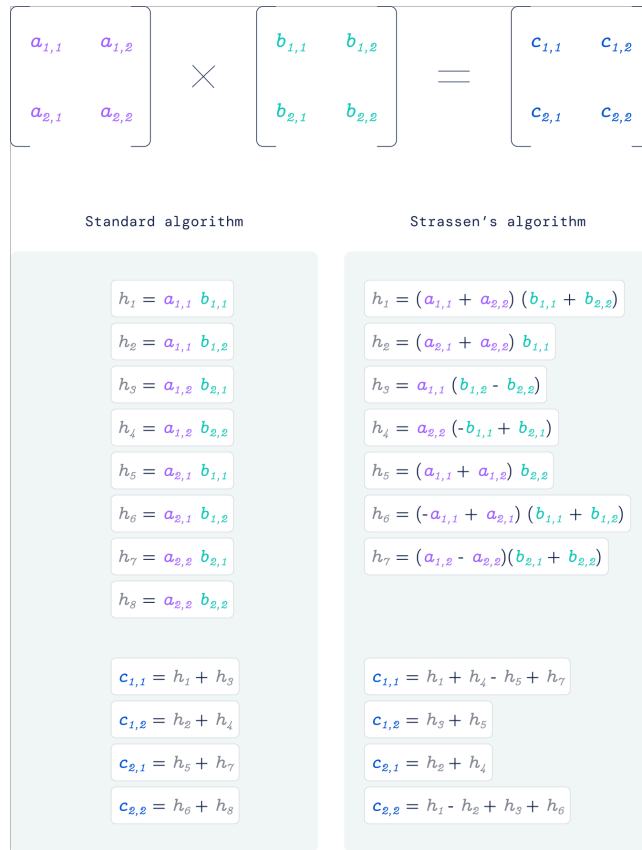
return unpad_matrix(np.vstack((np.hstack((c11,c12)),np.hstack((c21,c22)))), original_shape)

```

4 Metoda AI

4.1 Opis teoretyczny

Autorzy artykułu "Discovering novel algorithms with AlphaTensor" w Nature postanowili spojrzeć na problem mnożenia macierzy w inny sposób przekształcając go w grę z bardzo dużą liczbą możliwych ruchów, której ukończenie jest równoważne znalezieniu szukanej macierzy. A następnie za pomocą uczenia maszynowego nauczyli model AlphaTensor, jak w nią grać a ten metodą prób i błędów zaczął odkrywać najpierw już znane algorytmy, takie jak metoda Binét'a oraz metoda Strassena, aż dokonał przełomu odkrywając sposób wymnożenia macierzy 4x5 przez macierz 5x5 szybciej niż to było dotychczas możliwe. Najprostszy znany algorytm wykonuje obliczenia przy użyciu 100 mnożeń, algorytm Strassena przy 80, a algorytm AI przy 76.



Rysunek 1: Algoryty znane dotychczas

$$\begin{bmatrix} a_{1,1} & a_{1,2} & a_{1,3} & a_{1,4} & a_{1,5} \\ a_{2,1} & a_{2,2} & a_{2,3} & a_{2,4} & a_{2,5} \\ a_{3,1} & a_{3,2} & a_{3,3} & a_{3,4} & a_{3,5} \\ a_{4,1} & a_{4,2} & a_{4,3} & a_{4,4} & a_{4,5} \end{bmatrix} \times \begin{bmatrix} b_{1,1} & b_{1,2} & b_{1,3} & b_{1,4} & b_{1,5} \\ b_{2,1} & b_{2,2} & b_{2,3} & b_{2,4} & b_{2,5} \\ b_{3,1} & b_{3,2} & b_{3,3} & b_{3,4} & b_{3,5} \\ b_{4,1} & b_{4,2} & b_{4,3} & b_{4,4} & b_{4,5} \\ b_{5,1} & b_{5,2} & b_{5,3} & b_{5,4} & b_{5,5} \end{bmatrix} = \begin{bmatrix} c_{1,1} & c_{1,2} & c_{1,3} & c_{1,4} & c_{1,5} \\ c_{2,1} & c_{2,2} & c_{2,3} & c_{2,4} & c_{2,5} \\ c_{3,1} & c_{3,2} & c_{3,3} & c_{3,4} & c_{3,5} \\ c_{4,1} & c_{4,2} & c_{4,3} & c_{4,4} & c_{4,5} \end{bmatrix}$$

$$\begin{aligned}
h_1 &= a_{3,2}(-b_{2,1} - b_{2,5} - b_{3,1}) \\
h_2 &= (a_{2,2} + a_{2,5} - a_{3,5})(-b_{2,5} - b_{5,1}) \\
h_3 &= (-a_{3,1} - a_{4,1} + a_{4,2})(-b_{1,1} + b_{2,5}) \\
h_4 &= (a_{1,2} + a_{1,4} + a_{3,4})(-b_{2,5} - b_{4,1}) \\
h_5 &= (a_{1,5} + a_{2,2} + a_{2,5})(-b_{2,4} + b_{5,1}) \\
h_6 &= (-a_{2,2} - a_{2,5} - a_{4,5})(b_{2,3} + b_{5,1}) \\
h_7 &= (-a_{1,1} + a_{4,1} - a_{4,2})(b_{1,1} + b_{2,4}) \\
h_8 &= (a_{3,2} - a_{3,3} - a_{4,3})(-b_{2,3} + b_{5,1}) \\
h_9 &= (-a_{1,2} - a_{1,4} + a_{4,4})(b_{2,3} + b_{4,1}) \\
h_{10} &= (a_{2,2} + a_{2,5})b_{5,1} \\
h_{11} &= (-a_{2,1} - a_{4,1} + a_{4,5})(-b_{1,1} + b_{2,2}) \\
h_{12} &= (a_{1,1} - a_{4,2})b_{1,1} \\
h_{13} &= (a_{1,2} + a_{1,4} + a_{2,4})(b_{2,2} + b_{4,1}) \\
h_{14} &= (a_{1,3} - a_{3,2} + a_{3,3})(b_{2,4} + b_{4,1}) \\
h_{15} &= (-a_{1,2} - a_{1,4})b_{4,1} \\
h_{16} &= (-a_{3,2} + a_{3,3})b_{5,1} \\
h_{17} &= (a_{1,2} + a_{1,4} - a_{2,1} + a_{2,2} - a_{2,3} + a_{2,4} - a_{3,2} + a_{3,3} - a_{4,1} + a_{4,2})b_{2,2} \\
h_{18} &= a_{2,1}(b_{1,1} + b_{1,2} + b_{5,2}) \\
h_{19} &= -a_{2,3}(b_{3,1} + b_{3,2} + b_{5,2}) \\
h_{20} &= (-a_{1,5} + a_{2,1} + a_{2,2} - a_{2,5})(-b_{1,1} - b_{1,2} + b_{1,4} - b_{5,2}) \\
h_{21} &= (a_{2,1} + a_{2,3} - a_{2,5})b_{5,2} \\
h_{22} &= (a_{1,3} - a_{1,4} - a_{2,4})(b_{1,1} + b_{1,2} - b_{1,4} - b_{3,1} - b_{3,2} + b_{3,4} + b_{4,4}) \\
h_{23} &= a_{1,3}(-b_{3,1} + b_{3,4} + b_{4,4}) \\
h_{24} &= a_{1,5}(-b_{4,4} - b_{5,1} + b_{5,4}) \\
h_{25} &= -a_{1,1}(b_{1,1} - b_{1,4}) \\
h_{26} &= (-a_{1,3} + a_{1,4} + a_{1,5})b_{4,4} \\
h_{27} &= (a_{1,3} - a_{3,1} + a_{3,3})(b_{1,1} - b_{1,4} + b_{1,5} + b_{3,5}) \\
h_{28} &= -a_{3,4}(-b_{3,5} - b_{4,1} - b_{4,5}) \\
h_{29} &= a_{3,1}(b_{1,1} + b_{1,5} + b_{3,5}) \\
h_{30} &= (a_{3,1} - a_{3,3} + a_{3,4})b_{3,5} \\
h_{31} &= (-a_{1,4} - a_{1,5} - a_{3,4})(-b_{4,4} - b_{5,1} + b_{5,4} - b_{5,5}) \\
h_{32} &= (a_{2,1} + a_{4,1} + a_{4,4})(b_{1,3} - b_{4,1} - b_{4,2} - b_{4,3}) \\
h_{33} &= a_{4,3}(-b_{3,1} - b_{3,3}) \\
h_{34} &= a_{4,4}(-b_{1,3} + b_{4,1} + b_{4,5}) \\
h_{35} &= -a_{4,5}(b_{1,3} + b_{5,1} + b_{5,3}) \\
h_{36} &= (a_{2,3} - a_{2,5} - a_{4,5})(b_{3,1} + b_{3,2} + b_{3,3} + b_{5,2}) \\
h_{37} &= (-a_{4,1} - a_{4,4} + a_{4,5})b_{1,3} \\
h_{38} &= (-a_{2,3} - a_{3,1} + a_{3,3} - a_{3,4})(b_{3,5} + b_{4,1} + b_{4,2} + b_{4,5}) \\
h_{39} &= (-a_{3,1} - a_{4,1} - a_{4,4} + a_{4,5})(b_{1,3} + b_{5,1} + b_{5,3} + b_{5,5}) \\
h_{40} &= (-a_{1,3} + a_{1,4} + a_{1,5} - a_{4,4})(-b_{3,1} - b_{3,3} + b_{3,4} + b_{4,4}) \\
h_{41} &= (-a_{1,1} + a_{4,1} - a_{4,5})(b_{1,3} + b_{3,1} + b_{3,3} - b_{3,4} + b_{5,1} + b_{5,3} - b_{5,4}) \\
h_{42} &= (-a_{2,1} + a_{2,5} - a_{3,5})(-b_{1,1} - b_{1,2} - b_{1,5} + b_{4,1} + b_{4,2} + b_{4,5} - b_{5,2}) \\
h_{43} &= a_{2,4}(b_{4,1} + b_{4,2}) \\
h_{44} &= (a_{2,3} + a_{3,2} - a_{3,3})(b_{2,2} - b_{3,1}) \\
h_{45} &= (-a_{3,3} + a_{3,4} - a_{4,4})(b_{3,5} + b_{4,1} + b_{4,3} + b_{4,5} + b_{5,1} + b_{5,3} + b_{5,5}) \\
h_{46} &= -a_{3,5}(-b_{5,1} - b_{5,5}) \\
h_{47} &= (a_{2,1} - a_{2,5} - a_{3,1} + a_{3,5})(b_{1,1} + b_{1,2} + b_{1,5} - b_{4,1} - b_{4,2} - b_{4,5}) \\
h_{48} &= (-a_{2,3} + a_{3,3})(b_{2,2} + b_{3,2} + b_{3,5} + b_{4,1} + b_{4,2} + b_{4,5}) \\
h_{49} &= (-a_{1,1} - a_{1,3} + a_{1,4} + a_{1,5} - a_{2,1} - a_{2,3} + a_{2,4} + a_{2,5})(-b_{1,1} - b_{1,2} + b_{1,4}) \\
h_{50} &= (-a_{1,4} - a_{2,4})(b_{2,2} - b_{3,1} - b_{3,2} + b_{3,4} - b_{4,2} + b_{4,4}) \\
h_{51} &= a_{2,2}(b_{2,1} + b_{2,2} - b_{5,1}) \\
h_{52} &= a_{4,2}(b_{1,1} + b_{2,1} + b_{2,3}) \\
h_{53} &= -a_{1,2}(-b_{2,1} + b_{2,4} + b_{4,1}) \\
h_{54} &= (a_{1,2} + a_{1,4} - a_{2,2} - a_{2,5} - a_{3,2} + a_{3,3} - a_{4,2} + a_{4,3} - a_{4,4} - a_{4,5})b_{2,3} \\
h_{55} &= (a_{1,4} - a_{4,4})(-b_{2,3} + b_{3,1} + b_{3,3} - b_{3,4} + b_{4,3} - b_{4,4}) \\
h_{56} &= (a_{1,1} - a_{1,5} - a_{4,1} + a_{4,5})(b_{3,1} + b_{3,3} - b_{3,4} + b_{5,1} + b_{5,3} - b_{5,4}) \\
h_{57} &= (-a_{3,1} - a_{4,1})(-b_{1,3} - b_{1,5} - b_{2,5} - b_{5,1} - b_{5,3} - b_{5,5}) \\
h_{58} &= (-a_{1,4} - a_{1,5} - a_{3,4} - a_{3,5})(-b_{5,1} + b_{5,4} - b_{5,5}) \\
h_{59} &= (-a_{3,3} + a_{3,4} - a_{4,3} + a_{4,4})(b_{4,1} + b_{4,3} + b_{4,5} + b_{5,1} + b_{5,3} + b_{5,5}) \\
h_{60} &= (a_{2,5} + a_{4,5})(b_{2,3} - b_{3,1} - b_{3,2} - b_{3,3} - b_{5,2} - b_{5,3}) \\
h_{61} &= (a_{1,4} + a_{3,4})(b_{1,1} - b_{1,4} + b_{1,5} - b_{2,5} - b_{4,4} + b_{4,5} - b_{5,1} + b_{5,4} - b_{5,5}) \\
h_{62} &= (a_{2,1} + a_{4,1})(b_{1,2} + b_{1,3} + b_{2,2} - b_{4,1} - b_{4,2} - b_{4,3}) \\
h_{63} &= (-a_{3,3} - a_{4,3})(-b_{2,3} - b_{3,3} - b_{3,5} - b_{4,1} - b_{4,3} - b_{4,5}) \\
h_{64} &= (a_{1,1} - a_{1,3} - a_{1,4} + a_{3,1} - a_{3,3} - a_{3,4})(b_{1,1} - b_{1,4} + b_{1,5}) \\
h_{65} &= (-a_{1,1} + a_{4,1})(-b_{1,3} + b_{1,4} + b_{2,4} - b_{5,1} - b_{5,3} + b_{5,4}) \\
h_{66} &= (a_{1,1} - a_{1,2} + a_{1,3} - a_{1,5} - a_{2,2} - a_{2,5} - a_{3,2} + a_{3,3} - a_{4,1} + a_{4,2})b_{2,4} \\
h_{67} &= (a_{2,5} - a_{3,5})(b_{1,1} + b_{1,2} + b_{1,5} - b_{2,5} - b_{4,1} - b_{4,2} - b_{4,5} + b_{5,2} + b_{5,5}) \\
h_{68} &= (a_{1,1} + a_{1,3} - a_{1,4} - a_{1,5} - a_{4,1} - a_{4,3} + a_{4,4} + a_{4,5})(-b_{3,1} - b_{3,3} + b_{3,4}) \\
h_{69} &= (-a_{1,3} + a_{1,4} - a_{2,3} + a_{2,4})(-b_{2,4} - b_{3,1} - b_{3,2} + b_{3,4} - b_{5,2} + b_{5,4}) \\
h_{70} &= (a_{2,3} - a_{2,5} + a_{4,3} - a_{4,5})(-b_{3,1} - b_{3,2} - b_{3,3}) \\
h_{71} &= (-a_{3,1} + a_{3,3} - a_{3,4} + a_{3,5} - a_{4,1} + a_{4,3} - a_{4,4} + a_{4,5})(-b_{5,1} - b_{5,3} - b_{5,5}) \\
h_{72} &= (-a_{2,1} - a_{2,4} - a_{4,1} - a_{4,4})(b_{4,1} + b_{4,2} + b_{4,3}) \\
h_{73} &= (a_{1,3} - a_{1,4} - a_{1,5} + a_{2,3} - a_{2,4} - a_{2,5})(b_{1,1} + b_{1,2} - b_{1,4} + b_{2,4} + b_{5,2} - b_{5,4}) \\
h_{74} &= (a_{2,1} - a_{2,3} + a_{2,4} - a_{3,1} + a_{3,3} - a_{3,4})(b_{4,1} + b_{4,2} + b_{4,5}) \\
h_{75} &= -(a_{1,2} + a_{1,4} - a_{2,2} - a_{2,5} - a_{3,1} + a_{3,2} + a_{3,4} + a_{3,5} - a_{4,1} + a_{4,2})b_{2,5} \\
h_{76} &= (a_{1,3} + a_{3,3})(-b_{1,1} + b_{1,4} - b_{1,5} + b_{2,4} + b_{3,4} - b_{3,5}) \\
c_{1,1} &= -h_{10} + h_{12} + h_{14} - h_{15} - h_{16} + h_{53} + h_{5} - h_{66} - h_{7} \\
c_{2,1} &= h_{10} + h_{11} - h_{12} + h_{13} + h_{15} + h_{16} - h_{17} - h_{44} + h_{51} \\
c_{3,1} &= h_{10} - h_{12} + h_{15} + h_{16} - h_{1} + h_{2} + h_{3} - h_{4} + h_{75} \\
c_{4,1} &= -h_{10} + h_{12} - h_{15} - h_{16} + h_{52} + h_{54} - h_6 - h_{48} + h_{50} \\
c_{1,2} &= h_{13} + h_{15} + h_{20} + h_{21} - h_{22} + h_{23} + h_{25} - h_{43} + h_{49} + h_{50} \\
c_{2,2} &= -h_{11} + h_{12} - h_{13} - h_{15} - h_{16} + h_{17} + h_{18} - h_{19} - h_{21} + h_{43} + h_{44} \\
c_{3,2} &= -h_{16} - h_{19} - h_{21} - h_{28} - h_{29} - h_{38} + h_{42} + h_{44} - h_{47} + h_{48} \\
c_{4,2} &= h_{11} - h_{12} - h_{18} + h_{21} - h_{32} + h_{33} - h_{34} - h_{36} + h_{62} - h_{70} \\
c_{1,3} &= h_{15} + h_{23} + h_{24} + h_{34} - h_{37} + h_{40} - h_{41} + h_{55} - h_{56} - h_9 \\
c_{2,3} &= -h_{10} + h_{19} + h_{32} + h_{35} + h_{36} + h_{37} - h_{43} - h_{60} - h_{6} - h_{72} \\
c_{3,3} &= -h_{16} - h_{28} + h_{33} + h_{37} - h_{30} + h_{45} - h_{46} + h_{63} - h_{71} - h_8 \\
c_{4,3} &= h_{10} + h_{15} + h_{16} - h_{33} + h_{34} - h_{35} - h_{37} - h_{54} + h_6 + h_{48} - h_{50} \\
c_{1,4} &= -h_{10} + h_{12} + h_{14} - h_{16} + h_{23} + h_{24} + h_{25} + h_{36} + h_{3} - h_{66} - h_{7} \\
c_{2,4} &= h_{10} + h_{18} - h_{19} + h_{20} - h_{22} - h_{24} - h_{26} - h_{5} - h_{69} + h_{73} \\
c_{3,4} &= -h_{14} + h_{16} - h_{23} - h_{26} + h_{27} + h_{29} + h_{31} + h_{46} - h_{18} + h_{76} \\
c_{4,4} &= h_{12} + h_{25} + h_{29} - h_{33} - h_{35} - h_{40} + h_{41} + h_{65} - h_{68} - h_{7} \\
c_{1,5} &= h_{15} + h_{24} + h_{25} + h_{27} - h_{28} + h_{30} + h_{31} - h_4 + h_{61} + h_{64} \\
c_{2,5} &= -h_{10} - h_{18} - h_2 - h_{30} - h_{38} + h_{42} - h_{43} + h_{46} + h_{67} + h_{74} \\
c_{3,5} &= -h_{10} + h_{12} - h_{15} + h_{28} + h_{29} - h_2 - h_{30} - h_{3} + h_{46} + h_4 - h_{75} \\
c_{4,5} &= -h_{12} - h_{29} + h_{30} - h_{34} + h_{35} + h_{39} + h_{3} - h_{45} + h_{57} + h_{59}
\end{aligned}$$

Rysunek 2: Algorytm wymyślony przez AI

4.2 Implementacja

Algorytm wymyślony przez sztuczną inteligencję również został zaimplementowany w Pythonie:

```
def ai_matrix_mult(a,b):  
    a11=a[0,0]  
    a12=a[0,1]  
    a13=a[0,2]  
    a14=a[0,3]  
    a15=a[0,4]  
    a21=a[1,0]  
    a22=a[1,1]  
    a23=a[1,2]  
    a24=a[1,3]  
    a25=a[1,4]  
    a31=a[2,0]  
    a32=a[2,1]  
    a33=a[2,2]  
    a34=a[2,3]  
    a35=a[2,4]  
    a41=a[3,0]  
    a42=a[3,1]  
    a43=a[3,2]  
    a44=a[3,3]  
    a45=a[3,4]  
    b11=b[0,0]  
    b12=b[0,1]  
    b13=b[0,2]  
    b14=b[0,3]  
    b15=b[0,4]  
    b21=b[1,0]  
    b22=b[1,1]  
    b23=b[1,2]  
    b24=b[1,3]  
    b25=b[1,4]  
    b31=b[2,0]  
    b32=b[2,1]  
    b33=b[2,2]  
    b34=b[2,3]  
    b35=b[2,4]  
    b41=b[3,0]  
    b42=b[3,1]  
    b43=b[3,2]  
    b44=b[3,3]  
    b45=b[3,4]
```

```

b51=b[4,0]
b52=b[4,1]
b53=b[4,2]
b54=b[4,3]
b55=b[4,4]

h1=a32*(-b21-b25-b31)
h2=(a22+a25-a35)*(-b25-b51)
h3=(-a31-a41+a42)*(-b11+b25)
h4=(a12+a14+a34)*(-b25-b41)
h5=(a15+a22+a25)*(-b24+b51)
h6=(-a22-a25-a45)*(b23+b51)
h7=(-a11+a41-a42)*(b11+b24)
h8=(a32-a33-a43)*(-b23+b31)
h9=(-a12-a14+a44)*(b23+b41)
h10=(a22+a25)*(b51)
h11=(-a21-a41+a42)*(-b11+b22)
h12=(a41-a42)*(b11)
h13=(a12+a14+a24)*(b22+b41)
h14=(a13-a32+a33)*(b24+b31)
h15=(-a12-a14)*(b41)
h16=(-a32+a33)*(b31)
h17=(a12+a14-a21+a22-a23+a24-a32+a33-a41+a42)*(b22)
h18=(a21)*(b11+b12+b52)
h19=(-a23)*(b31+b32+b52)
h20=(-a15+a21+a23-a25)*(-b11-b12+b14-b52)
h21=(a21+a23-a25)*(b52)
h22=(a13-a14-a24)*(b11+b12-b14-b31-b32+b34+b44)
h23=(a13)*(-b31+b34+b44)
h24=(a15)*(-b44-b51+b54)
h25=(-a11)*(b11-b14)
h26=(-a13+a14+a15)*(b44)
h27=(a13-a31+a33)*(b11-b14+b15+b35)
h28=(-a34)*(-b35-b41-b45)
h29=(a31)*(b11+b15+b35)
h30=(a31-a33+a34)*(b35)
h31=(-a14-a15-a34)*(-b44-b51+b54-b55)
h32=(a21+a41+a44)*(b13-b41-b42-b43)
h33=(a43)*(-b31-b33)
h34=(a44)*(-b13+b41+b43)
h35=(-a45)*(b13+b51+b53)
h36=(a23-a25-a45)*(b31+b32+b33+b52)
h37=(-a41-a44+a45)*(b13)
h38=(-a23-a31+a33-a34)*(b35+b41+b42+b45)
h39=(-a31-a41-a44+a45)*(b13+b51+b53+b55)

```

$$\begin{aligned} h40 &= (-a13+a14+a15-a44)*(-b31-b33+b34+b44) \\ h41 &= (-a11+a41-a45)*(b13+b31+b33-b34+b51+b53-b54) \\ h42 &= (-a21+a25-a35)*(-b11-b12-b15+b41+b42+b45-b52) \\ h43 &= (a24)*(b41+b42) \\ h44 &= (a23+a32-a33)*(b22-b31) \\ h45 &= (-a33+a34-a43)*(b35+b41+b43+b45+b51+b53+b55) \\ h46 &= (-a35)*(-b51-b55) \\ h47 &= (a21-a25-a31+a35)*(b11+b12+b15-b41-b42-b45) \\ h48 &= (-a23+a33)*(b22+b32+b35+b41+b42+b45) \\ h49 &= (-a11-a13+a14+a15-a21-a23+a24+a25)*(-b11-b12+b14) \\ h50 &= (-a14-a24)*(b22-b31-b32+b34-b42+b44) \\ h51 &= (a22)*(b21+b22-b51) \\ h52 &= (a42)*(b11+b21+b23) \\ h53 &= (-a12)*(-b21+b24+b41) \\ h54 &= (a12+a14-a22-a25-a32+a33-a42+a43-a44-a45)*(b23) \\ h55 &= (a14-a44)*(-b23+b31+b33-b34+b43-b44) \\ h56 &= (a11-a15-a41+a45)*(b31+b33-b34+b51+b53-b54) \\ h57 &= (-a31-a41)*(-b13-b15-b25-b51-b53-b55) \\ h58 &= (-a14-a15-a34-a35)*(-b51+b54-b55) \\ h59 &= (-a33+a34-a43+a44)*(b41+b43+b45+b51+b53+b55) \\ h60 &= (a25+a45)*(b23-b31-b32-b33-b52-b53) \\ h61 &= (a14+a34)*(b11-b14+b15-b25-b44+b45-b51+b54-b55) \\ h62 &= (a21+a41)*(b12+b13+b22-b41-b42-b43) \\ h63 &= (-a33-a43)*(-b23-b33-b35-b41-b43-b45) \\ h64 &= (a11-a13-a14+a31-a33-a34)*(b11-b14+b15) \\ h65 &= (-a11+a41)*(-b13+b14+b24-b51-b53+b54) \\ h66 &= (a11-a12+a13-a15-a22-a25-a32+a33-a41+a42)*(b24) \\ h67 &= (a25-a35)*(b11+b12+b15-b25-b41-b42-b45+b52+b55) \\ h68 &= (a11+a13-a14-a15-a41-a43+a44+a45)*(-b31-b33+b34) \\ h69 &= (-a13+a14-a23+a24)*(-b24-b31-b32+b34-b52+b54) \\ h70 &= (a23-a25+a43-a45)*(-b31-b32-b33) \\ h71 &= (-a31+a33-a34+a35-a41+a43-a44+a45)*(-b51-b53-b55) \\ h72 &= (-a21-a24-a41-a44)*(b41+b42+b43) \\ h73 &= (a13-a14-a15+a23-a24-a25)*(b11+b12-b14+b24+b52-b54) \\ h74 &= (a21-a23+a24-a31+a33-a34)*(b41+b42+b45) \\ h75 &= (-a12+a14-a22-a25-a31+a32+a34+a35-a41+a42)*(b25) \\ h76 &= (a13+a33)*(-b11+b14-b15+b24+b34-b35) \\ \\ c11 &= -h10+h12+h14-h15-h16+h53+h5-h66-h7 \\ c21 &= h10+h11-h12+h13+h15+h16-h17-h44+h51 \\ c31 &= h10-h12+h15+h16-h1+h2+h3-h4+h75 \\ c41 &= -h10+h12-h15-h16+h52+h54-h6-h8+h9 \\ c12 &= h13+h15+h20+h21-h22+h23+h25-h43+h49+h50 \\ c22 &= -h11+h12-h13-h15-h16+h17+h18-h19-h21+h43+h44 \\ c32 &= -h16-h19-h21-h28-h29-h38+h42+h44-h47+h48 \end{aligned}$$

```

c42=h11-h12-h18+h21-h32+h33-h34-h36+h62-h70
c13=h15+h23+h24+h34-h37+h40-h41+h55-h56-h9
c23=-h10+h19+h32+h35+h36+h37-h43-h60-h6-h72
c33=-h16-h28+h33+h37-h39+h45-h46+h63-h71-h8
c43=h10+h15+h16-h33+h34-h35-h37-h54+h6+h8-h9
c14=-h10+h12+h14-h16+h23+h24+h25+h26+h5-h66-h7
c24=h10+h18-h19+h20-h22-h24-h26-h5-h69+h73
c34=-h14+h16-h23-h26+h27+h29+h31+h46-h58+h76
c44=h12+h25+h26-h33-h35-h40+h41+h65-h68-h7
c15=h15+h24+h25+h27-h28+h30+h31-h4+h61+h64
c25=-h10-h18-h2-h30-h38+h42-h43+h46+h67+h74
c35=-h10+h12-h15+h28+h29-h2-h30-h3+h46+h4-h75
c45=-h12-h29+h30-h34+h35+h39+h3-h45+h57+h59

c=np.array([[c11,c12,c13,c14,c15],[c21,c22,c23,c24,c25],
            [c31,c32,c33,c34,c35],[c41,c42,c43,c44,c45]])

return c

```

5 Test działania algorytmu AI

W celu przetestowania poprawności algorytmu "wymyślonego" przez sztuczną inteligencję, wygenerowaliśmy dwie macierze z losowymi wartościami, a następnie wymnożyliśmy je metodą AI oraz funkcją `np.dot()`. Po porównaniu otrzymanych wyników okazało się, że metoda jest poprawna, a różnica pomiędzy poszczególnymi elementami macierzy wynikowej jest minimalna i wynika stricte ze sposobu przechowywania i operacji na liczbach zmiennoprzecinkowych w komputerze. Poniżej zamieściliśmy wykorzystane macierze oraz otrzymane różnice.

$$A = \begin{bmatrix} 0.12 & 0.34 & 0.56 & 0.78 & 4.55 \\ 1.23 & 1.45 & 1.67 & 1.89 & 4.66 \\ 2.01 & 2.23 & 2.45 & 2.67 & 4.77 \\ 3.11 & 3.22 & 3.33 & 3.44 & 4.88 \end{bmatrix}$$

$$B = \begin{bmatrix} 0.10 & 0.20 & 0.30 & 0.40 & 0.50 \\ 1.00 & 1.10 & 1.20 & 1.30 & 1.40 \\ 2.00 & 2.10 & 2.20 & 2.30 & 2.40 \\ 3.00 & 3.10 & 3.20 & 3.30 & 3.40 \\ 4.00 & 4.10 & 4.20 & 4.30 & 4.40 \end{bmatrix}$$

$$C1 = C2 = A \cdot B$$

Gdzie C1 to wynik otrzymany metodami AI, a C2 przy wykorzystaniu numpy

$$C1-C2 = \begin{bmatrix} 3.55 \times 10^{-15} & 0.00 & 3.55 \times 10^{-15} & 7.11 \times 10^{-15} & 3.55 \times 10^{-15} \\ 3.55 \times 10^{-15} & 3.55 \times 10^{-15} & 1.07 \times 10^{-14} & 7.11 \times 10^{-15} & 7.11 \times 10^{-15} \\ 0.00 & 0.00 & 1.42 \times 10^{-14} & 0.00 & 0.00 \\ 0.00 & 2.13 \times 10^{-14} & 0.00 & 0.00 & 1.42 \times 10^{-14} \end{bmatrix}$$

6 Porównanie wydajności algorytmów Binet’a i Strassena

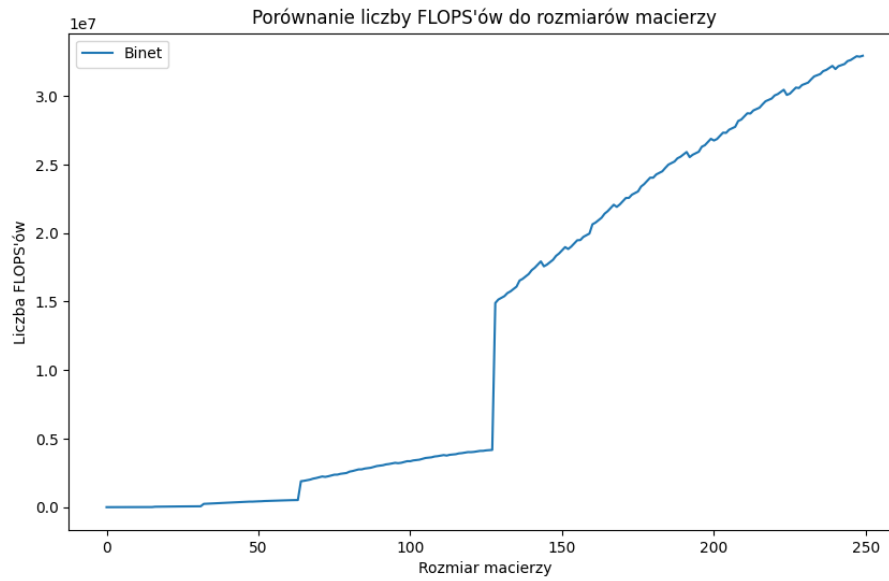
6.1 Zliczanie liczby operacji zmiennoprzecinkowych

Zliczanie operacji zmiennoprzecinkowych osiągnęliśmy poprzez stworzenie typu danych dziedziczącego po float’cie i przeładowującego operacje arytmetyczne tak aby ich wywołania były zliczane. W tabeli poniżej podaliśmy parę przykładowych wyników.

Rozmiar macierzy	Mnożenia	Dodawania	Odejmowania
2	8	4	0
15	3825	3825	0
38	129960	165452	0
50	195000	223100	0
96	1474560	1760256	0
175	10320625	12599825	0
250	16375000	16564500	0

Tabela 1: Liczba poszczególnych operacji zmiennoprzecinkowych dla algorytmu Binet’a

Na poniższym wykresie zaprezentowaliśmy sumaryczną liczbę operacji zmiennoprzecinkowych dla rozmiarów macierzy z zakresu od 1 do 250



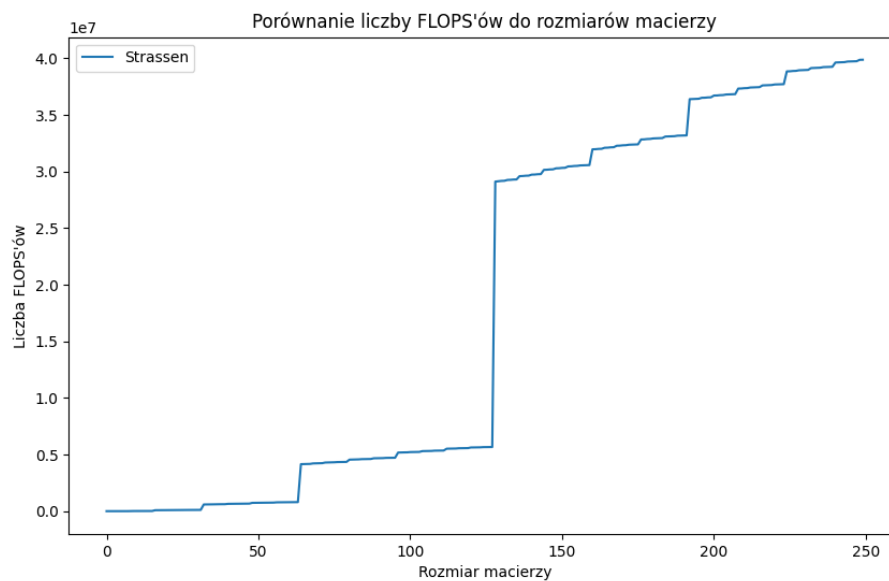
Rysunek 3: Sumaryczna liczba FLOPS'ów dla algorytmu Binet'a

Taką samą analizę przeprowadziliśmy dla algorytmu Strassen'a, co również wi-
dać w tabeli poniżej.

Rozmiar macierzy	Mnożenia	Dodawania	Odejmowania
2	7	12	6
15	2400	8516	4226
38	112308	342488	158392
50	116802	416846	202298
96	806736	2652256	1258900
175	5618176	18202518	8574544
250	5764696	22748640	11361804

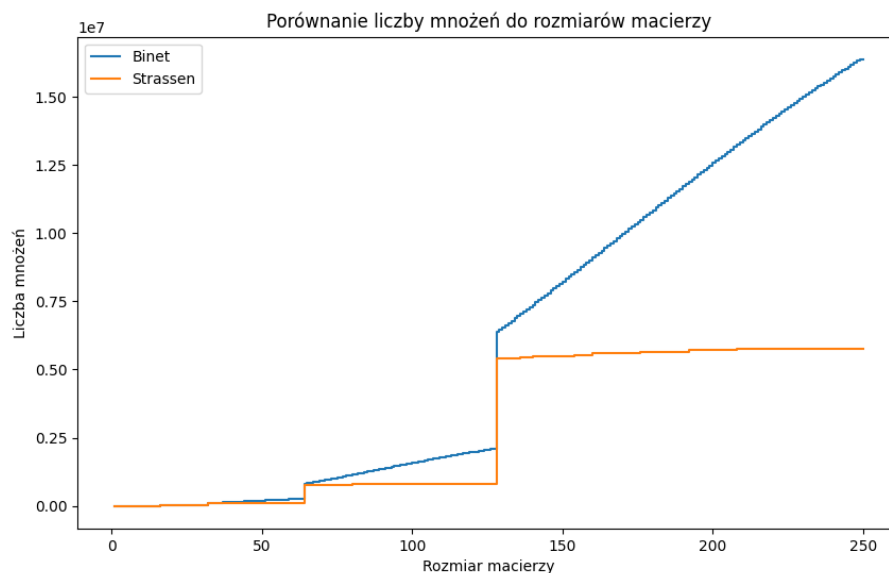
Tabela 2: Liczba poszczególnych operacji zmiennoprzecinkowych dla algorytmu Strassen'a

Ponownie sporządziliśmy wykres prezentujący sumaryczną liczbę FLOPS'ów dla macierzy o rozmiarach z zakresu od 1 do 250.



Rysunek 4: Sumaryczna liczba FLOPS'ów dla algorytmu Strassen'a

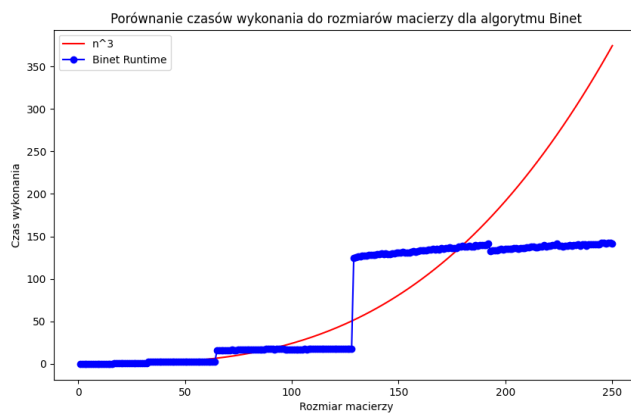
Finalnie porównaliśmy liczbę mnożeń wykonanych przez algorytm Strassena i algorytm Binet'a. Wykres jasno pokazuje, że algorytm Strassena wykonuje znacznie mniej tych operacji od algorytmu Binet'a.



Rysunek 5: Porównanie liczby mnożeń dla algorytmów Binet'a i Strassen'a

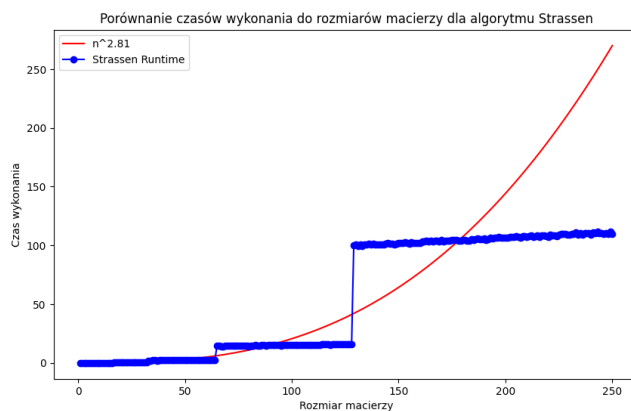
6.2 Porównanie czasów działania

Na poniższym wykresie pokazany jest wykres czasów wykonania algorytmu Binet'a od rozmiarów macierzy z dodatkowo dopasowaną krzywą złożoności $O(n^3)$. Jak widać czas działania w większości przypadków jest nieco dłuższy, wynika to z uzupełniania macierzy zerami.



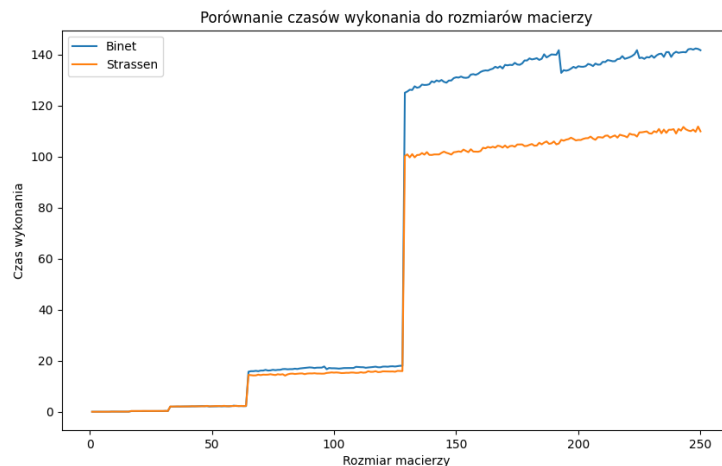
Rysunek 6: Wykres czasu działania algorytmu Binet'a dla różnych rozmiarów macierzy

Podobnie przedstawiliśmy wykres dla algorytmu Strassena, jednak tym razem dopasowaliśmy dwie krzywe. Jedną dla $O(n^{2.81})$, a drugą dla $O(n^3)$.



Rysunek 7: Wykres czasu działania algorytmu Strassen'a dla różnych rozmiarów macierzy

Sporządziliśmy jeszcze jeden wykres prezentujący oba czasy działania na jednym wykresie, co pięknie obrazuje niższą złożoność algorytmu Strassena.



Rysunek 8: Porównanie czasów działania algorytmu Binet’a i Strassena

7 Oszacowanie złożoności obliczeniowej

Złożoność obliczeniową postanowiliśmy oszacować także teoretycznie. Dla algorytmu Binet’a algorytm wykonuje 8 mnożeń na każdym etapie, a liczba podziałów wynosi $\log_2[n]$, zatem liczba operacji wynosi $8^{\log_2 n} = n^3$. Jeśli chodzi o algorytm Strassena wykonuje on 7 mnożeń na każdym etapie, zatem złożoność wynosi $7^{\log_2 n} = n^{2.81}$.

8 Porównanie wyników z Octave

W celu sprawdzenia poprawności zaimplementowanych algorytmów porównaliśmy wyniki mnożenia 2 macierzy w Octave oraz za pomocą naszych implementacji algorytmu Binet’a i Strassena. Poniżej zamieszczony jest kod w Octave, który użyliśmy do pomnożenia macierzy.

```
A = [1.1, 2.2, 3.3, 7.1;
      4.4, 5.5, 6.6, 3.2;
      7.7, 8.8, 9.9, 5.1];
```

```
B = [9.9, 8.8, 7.7, 7.6;
      6.6, 5.5, 4.4, 6.2;
      3.3, 2.2, 1.1, 1.2];
```

```
C = A * B;
```

```
disp(C);
```

Wyniki otrzymane tymi trzeba sposobami były identyczne. Zaobserwowaliśmy, że implementacja mnożenia w Octave jest dużo lepsza i kod wykonuje się znacznie szybciej, niż w przypadku naszych algorytmów. Szczególnie przeprowadziliśmy testy dla macierzy 350x350. Kod w Octave wykonuje się w ułamku sekundy, gdzie nasza implementacja algorytmu Binet’a i Strassena potrzebuje paręset sekund.

9 Wnioski

1. Algorytm Strassena jest szybszy od algorytmu Binet’a, co zostało przez nas pokazane teoretycznie jak i zaobserwowane podczas testów.
2. Metoda mnożenia zaproponowana przez AI jest poprawna, jednak jej implementacja jest dość długa.
3. Jednym z powodów dość powolnego mnożenia macierzy jest implementacja algorytmów w języku Python, prawdopodobnie dużo lepsze czasy uzyskalibyśmy implementując je w C.
4. Octave nadaje się do mnożenia bardzo dużych macierzy.

10 Źródła

1. Wykład z kursu Algorytmy Macierzowe
2. https://en.wikipedia.org/wiki/Computational_complexity_of_mathematical_operations
3. <https://deepmind.google/discover/blog/discovering-novel-algorithms-with-alphatensor/#:~:text=In%20our%20paper,%20published%20today%20in%20Nature,%20we>